

Л. БРАГИНА

## ТУННЕЛЬНЫЕ СОСТОЯНИЯ РТУТЕПОДОБНЫХ ПРИМЕСНЫХ ЦЕНТРОВ В МАГНИТНОМ ПОЛЕ

(Представил В. Хижняков)

### Введение

При рассмотрении оптических свойств ртутеподобных центров (РЦ) в щелочно-галлоидных кристаллах (ЩГК) выясняется, что при низкой температуре существенными становятся туннельные переходы между энергетически эквивалентными минимумами адиабатического потенциала. Подобные переходы не только приводят к дополнительному расщеплению уровней, но и могут значительно влиять на кинетику затухания и поляризацию люминесценции.

Мы будем исходить из модели, предложенной в [1] для электронных состояний *sp*-конфигурации РЦ в случае кристалла с сильным эффектом Яна—Теллера. В этой модели энергетическая поверхность <sup>3</sup>P-состояния имеет 3 тетрагональных минимума *x*, *y*, *z*. Каждый из них трехкратно вырожден по спину:  $x_{x,y,z}$ ,  $y_{x,y,z}$ ,  $z_{x,y,z}$ . Спин-орбитальное (СО) взаимодействие приводит к частичному снятию вырождения: получают 3 эквивалентных дублетных излучательных минимума, в которых спин перпендикулярен оси искажения ( $x_y$  и  $x_z$ ,  $y_x$  и  $y_z$ ,  $z_x$  и  $z_y$ ), и 3 эквивалентных синглетных метастабильных минимума, в которых спин параллелен оси искажения ( $x_x$ ,  $y_y$ ,  $z_z$ ). Метастабильные минимумы расположены ниже излучательных на расстоянии  $\delta$ , которое в зависимости от центра может принимать значения от  $10^{-2}$  до  $10^{-4}$  эВ.

В [2] было рассчитано влияние внешнего магнитного поля на рассматриваемые состояния без учета туннельных переходов. Расщепление туннельных состояний этих центров в магнитном поле было изучено качественно методами теории групп в [3].

### Учет магнитного поля

В экспериментах по изучению люминесценции РЦ в ЩГК обычно используются магнитные поля, не превышающие 20 кГс. Величина расщепления уровней в таких полях составляет

$$h = g\mu_B H = 2 \cdot 5,79 \cdot 10^{-9} \cdot 10^4 \sim 10^{-4} \text{ эВ}; \quad (1)$$

где  $g=2$  — множитель Ланде,  $\mu_B=5,79 \cdot 10^{-9}$  эВ·Гс<sup>-1</sup> — магнетон Бора.  $H \sim 10^4$  Гс — напряженность магнитного поля. Как видим, расщепление в таких полях меньше  $\delta$ , поэтому влияние магнитного поля для большинства центров можно рассматривать в приближении  $h/\delta \ll 1$ . В этом приближении энергии и волновые функции для минимумов адиабатиче-

ского потенциала в магнитном поле  $H \parallel z$  равны следующему:

$$\begin{aligned}
 E_{x_1, y_1} &= -\delta - h^2/\delta, \\
 E_{x_2, y_2} &= 0, \\
 E_{x_3, y_3} &= h^2/\delta, \\
 E_{z_1} &= -\delta, \\
 E_{z_2, z_3} &= \pm h, \\
 |x_1\rangle &= (1+h^2/\delta^2)^{-1/2} \left( x_x + i \frac{h}{\delta} x_y \right), \\
 |x_2\rangle &= x_z, \\
 |x_3\rangle &= (1+h^2/\delta^2)^{-1/2} \left( i \frac{h}{\delta} x_x + x_y \right), \\
 |z_1\rangle &= z_z, \\
 |z_{2,3}\rangle &= (z_x \pm iz_y) / \sqrt{2}.
 \end{aligned} \tag{2}$$

Здесь  $\alpha_\beta = |\alpha\rangle |\theta_\beta\rangle$ ,  $\alpha, \beta = x, y, z$ , где  $|\alpha\rangle = \frac{1}{\sqrt{2}} [ |S(1)P_\alpha(2)\rangle - |S(2)P_\alpha(1)\rangle ]$  — орбитали  $sp$ -состояния, а  $|\theta_\beta\rangle$  — триплетные спиновые функции. Волновые функции  $y$ -минимумов аналогичны волновым функциям  $x$ -минимумов. Расщепление в магнитном поле представлено на рис. 1 (вместо  $x_2(y_3)$  следует читать  $x_2(y_2)$ ).

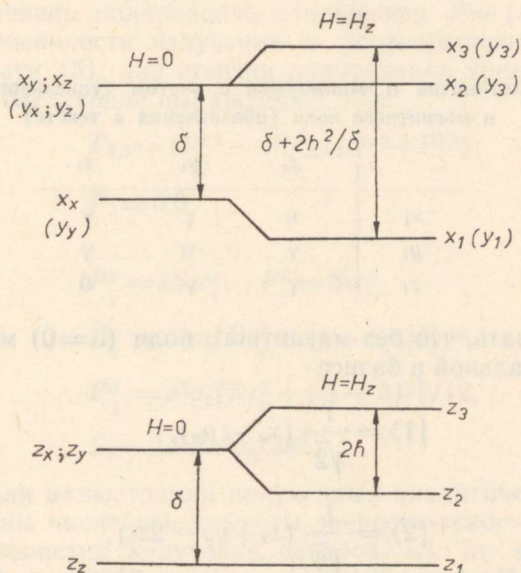


Рис. 1. Расщепление минимумов одной ориентации в магнитных полях  $H=0$  и  $H_z \neq 0$  ( $H_x = H_y = 0$ ) (обозначения см. в тексте).

### Учет туннельного расщепления

Туннельные переходы описываются матричными элементами СО-взаимодействия колебательных состояний минимумов различной ориентации (табл. 1). Параметр туннельного расщепления  $\gamma = \zeta e^{-f_0}$ , где  $\zeta$  — параметр СО-расщепления ( $\zeta \sim 0,1-0,3$  эВ),  $e^{-f_0}$  — фактор редукции Хэма

Таблица 1

Матрица туннельного расщепления  $\alpha_\beta$ - и  $\alpha_\alpha$ -минимумов

	$y_z$	$z_y$	$x_z$	$z_x$	$x_y$	$y_x$	$x_x$	$y_y$	$z_z$
$y_z$	0	$\gamma$	0	0	0	0	0	0	0
$z_y$	$\gamma$	0	0	0	0	0	0	0	0
$x_z$	0	0	0	$\gamma$	0	0	0	0	0
$z_x$	0	0	$\gamma$	0	0	0	0	0	0
$x_y$	0	0	0	0	0	$\gamma$	0	0	0
$y_x$	0	0	0	0	$\gamma$	0	0	0	0
$x_x$	0	0	0	0	0	0	0	$\gamma$	$\gamma$
$y_y$	0	0	0	0	0	0	$\gamma$	0	$\gamma$
$z_z$	0	0	0	0	0	0	$\gamma$	$\gamma$	0

( $e^{-f_0} \sim 10^{-5} - 10^{-10}$ ) [1]. Таким образом,  $\gamma \sim 10^{-6} - 10^{-11} \ll h$  (уравнение (1)), и поэтому, приняв влияние магнитного поля за нулевое приближение задачи, туннельное расщепление можно учитывать уже после магнитного.

Как видно из табл. 1, между  $\alpha_\alpha$ - и  $\alpha_\beta$ -минимумами нет туннельных переходов. Поэтому можно учитывать туннельное расщепление  $\alpha_\alpha$ -минимумов независимо от туннельного расщепления  $\alpha_\beta$ -минимумов.

1. Для  $\alpha_\alpha$ -минимумов, используя (2), с точностью до членов порядка  $h/\delta$  получаем матрицу гамильтониана размерности  $3 \times 3$ , представленную в табл. 2. Разность энергий  $x_1$ ,  $y_1$  и  $z_1$  состояний, обозначаемая как  $\alpha$ , будет в данном случае параметром, зависимым от магнитного поля

$$\alpha = E_{x_1, y_1} - E_{z_1} = -h^2/\delta < 0. \quad (3)$$

Таблица 2

Матрица гамильтониана  $\alpha_\alpha$ -минимумов с учетом туннельного расщепления и магнитного поля (обозначения в тексте)

	$x_1$	$y_1$	$z_1$
$x_1$	$\alpha$	$\gamma$	$\gamma$
$y_1$	$\gamma$	$\alpha$	$\gamma$
$z_1$	$\gamma$	$\gamma$	0

Можно показать, что без магнитного поля ( $\alpha=0$ ) матрица (табл. 2) является диагональной в базисе

$$|1\rangle = \frac{1}{\sqrt{2}} (x_x - y_y),$$

$$|2\rangle = \frac{1}{\sqrt{6}} (x_x + y_y - 2z_z), \quad (4)$$

$$|3\rangle = \frac{1}{\sqrt{3}} (x_x + y_y + z_z),$$

а при  $\alpha \neq 0$  она в этом базисе становится квазидиагональной. Полная ее диагонализация дает следующее решение для энергий и волновых функций:

$$E_{1,3} = \frac{\alpha + \gamma}{2} \left( 1 \pm \sqrt{1 + \frac{8}{(1 + \alpha/\gamma)^2}} \right), \quad E_2 = \alpha - \gamma,$$

$$\begin{aligned}\varphi_1 &= \sqrt{6} a [(E_1 + \gamma) (|x_1\rangle + |y_1\rangle + |z_1\rangle) / \alpha - |z_1\rangle] / 2, \\ \varphi_2 &= (|x_1\rangle - |y_1\rangle) / \sqrt{2}, \\ \varphi_3 &= \sqrt{3} a [(E_3 - 2\gamma) (|x_1\rangle + |y_1\rangle - 2|z_1\rangle) / \alpha + 2|z_1\rangle] / 2,\end{aligned}\quad (5)$$

где

$$a = [1 + (3E_3 + 3\gamma - \alpha)^2 / 2\alpha^2]^{-1/2}.$$

При определении кинетических характеристик излучения мы должны учесть, что СО-взаимодействие смешивает триплетные и синглетные состояния разной ориентации, поэтому рассматриваемые минимумы возбуждаются и излучают в поляризации, перпендикулярной оси тетрагонального искажения и спину [1]. Например,  $x_y$ - и  $y_x$ -минимумы возбуждаются и излучают по оси  $z$  с вероятностью  $v_2$ , а  $z_z$ -минимумы — перпендикулярно оси  $z$  с вероятностью  $v_1$ , причем  $v_1 \gg v_2$ . Из (5) для всех трех компонент получаются следующие вероятности излучения:

$$\begin{aligned}1/\tau_1 &= a^2 [c_1^2 S + (1 - 2c_1)^2 v_1] / 3, \\ 1/\tau_2 &= 1,5Bv_1, \\ 1/\tau_3 &= a^2 [c_3^2 S + (c_3 - 3)^2 v_1] / 6.\end{aligned}\quad (6)$$

Здесь  $B = (1 - \alpha/\delta)^{-1}$ ,  $S = B(v_1 + 4h^2 v_2 / \delta^2)$ ,  $c_1 = (1,5E_1 - 3\gamma) / \alpha$ ,  $c_3 = 3(E_3 + \gamma) / \alpha$ .

Направим поляризацию возбуждающего света по оси  $z$  и будем определять степень поляризации отношением  $P = (I_z - I_x) / (I_z + I_x)$ , где  $I_z, I_x$  — интенсивности излучения в соответствующих направлениях. Тогда, используя (5), для степени поляризации трех компонент излучения получаем следующие выражения:

$$\begin{aligned}P_{1,3} &= (P_{\parallel}^{1,3} - P_{\perp}^{1,3}) / (P_{\parallel}^{1,3} + P_{\perp}^{1,3}), \\ P_2 &\equiv 0,6,\end{aligned}\quad (7)$$

где

$$\begin{aligned}P_{\parallel}^1 &= 2S_1 c_1^2, \quad P_{\parallel}^3 = S_1 c_3^2, \\ P_{\perp}^1 &= a^2 v_1 [Bc_1^2 + (1 - 2c_1)^2] / 6, \\ P_{\perp}^3 &= a^2 v_1 [Bc_3^2 + (c_3 - 3)^2] / 12, \\ S_1 &= 2a^2 B h^2 v_2 / 3\delta^2.\end{aligned}$$

На ЭВМ для иллюстрации полученных аналитических зависимостей, были проведены численные расчеты энергетического спектра и кинетических характеристик излучения центров  $KI:In$  в магнитном поле ( $\delta = 0,0022$  эВ,  $v_1 = 2857$  сек $^{-1}$ ,  $v_2 = 1,6 \cdot 10^6$  сек $^{-1}$  [4] — в этих центрах была сделана попытка найти туннельное расщепление экспериментально). Магнитное поле пробегало значения от 1 до 20 кГс,  $h$  в этом случае изменяется от  $10^{-5}$  до  $10^{-4}$  эВ,  $\alpha$  — от  $10^{-7}$  до  $10^{-5}$  эВ. Для  $\gamma$  были опробованы значения от  $10^{-11}$  до  $10^{-6}$  эВ с тем, чтобы уточнить эту величину при получении экспериментальных результатов. На рис. 2 приведены результаты численных расчетов для  $\gamma = 10^{-6}$  эВ. Это значение  $\gamma$  сравнимо со значением  $\alpha$ , однако для  $H \ll 1$  кГс нарушается условие нашего приближения  $\gamma \ll h$ . В связи с этим для  $H \ll 1$  кГс кривые были экстраполированы к значениям  $E, 1/\tau$  и  $P$ , получаемым при  $\alpha = 0$ . В программе ЭВМ три компонента излучения из метастабильных мини-

мумов были усреднены в одну, поскольку предполагалось, что в экспериментах вряд ли удастся их разделить.

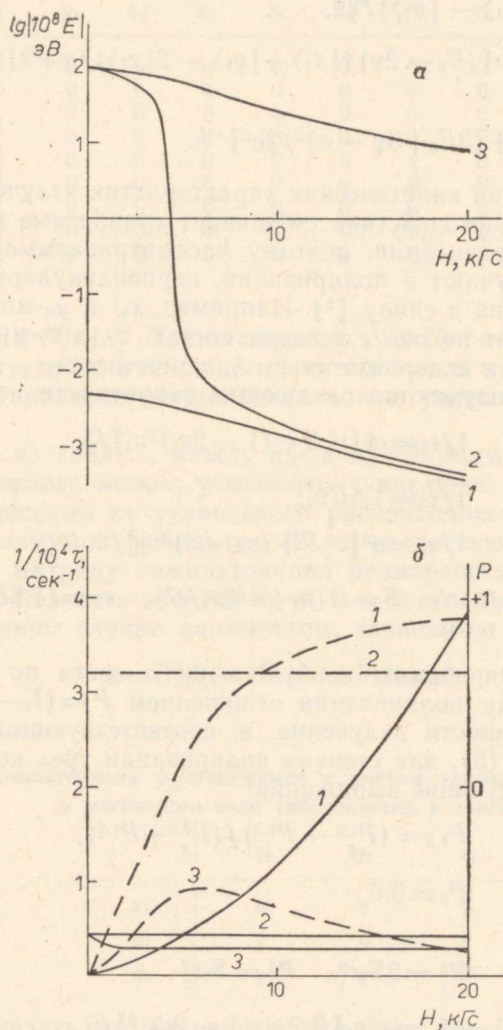


Рис. 2. Расчетные зависимости параметров  $A_T$ -люминесценции центров KI:  $I_p$  от магнитного поля для  $\gamma=10^{-6}$  эВ: а — энергий, б — обратных времен затухания (сплошные линии) и степеней поляризации (пунктирные линии). 1, 2, 3 нумеруют соответствующие компоненты излучения.

Полученные решения (6), (7) можно значительно упростить, рассмотрев возможные соотношения величин  $\alpha$  и  $\gamma$ . В общем случае в зависимости от величины магнитного поля, от значения  $\alpha$  и в силу указанной выше неопределенности  $\gamma$  могут реализоваться 2 предельных случая:  $\alpha \ll \gamma$  (слабое по туннельному расщеплению магнитное поле) и  $\alpha \gg \gamma$  (сильное по туннельному расщеплению магнитное поле). Для случая  $\alpha \ll \gamma$  из (5) получаем следующие энергии и кинетические характеристики:

$$E_1^w = 2(\gamma + \alpha),$$

$$E_{2,3}^w = -\gamma \pm \alpha,$$

$$\begin{aligned}
 1/\tau_1^w &= 4h^2v_2/3\delta^2, & P_1^w &= \frac{4h^2/\delta^2 - v_1/v_2}{4h^2/\delta^2 + v_1/v_2}, \\
 1/\tau_2^w &= 3v_1/2, & P_2^w &= 0,6, \\
 1/\tau_3^w &= 3v_1/2 + 2h^2v_2/3\delta^2, & P_3^w &= \frac{h^2/\delta^2 - 9v_1/8v_2}{h^2/\delta^2 + 9v_1/8v_2},
 \end{aligned}
 \tag{8}$$

а для  $\alpha \gg \gamma$  эти же величины следующие:

$$\begin{aligned}
 E_{1,2}^s &= \alpha \pm \gamma, \\
 E_3^s &= 0, \\
 1/\tau_1^s &= v_1/2 + 2h^2v_2/\delta^2, & P_1^s &= \frac{h^2/\delta^2 - v_1/8v_2}{h^2/\delta^2 + v_1/8v_2}, \\
 1/\tau_2^s &= 3v_1/2, & P_2^s &= 0,6, \\
 1/\tau_3^s &= v_1, & P_3^s &= -1.
 \end{aligned}
 \tag{9}$$

Расщепление  $\alpha_\alpha$ -минимумов в предельных случаях изображено на рис. 3. Сравнивая представленные на этом рисунке спектры энергии с точными решениями, полученными на ЭВМ для центров К1:Іп (рис. 2, а), мы видим, что в зависимости от соотношения  $\alpha$  и  $\gamma$ , картина расщепления изменяется (от рис. 3, б к рис. 3, в). Зависимости же  $1/\tau$  ( $H$ ) и  $P$  ( $H$ ) (рис. 2, б) в предельных случаях описываются уравнениями (8), (9).

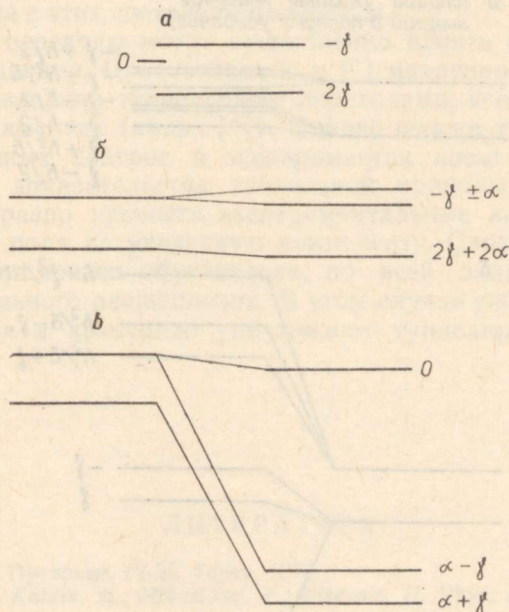


Рис. 3. Туннельное расщепление  $\alpha_\alpha$ -минимумов: а — без магнитного, б — в слабом магнитном поле ( $\alpha \ll \gamma$ ), в — в сильном магнитном поле ( $\alpha \gg \gamma$ ), ( $\alpha < 0$ ,  $\gamma < 0$ ).

Матрица гамильтониана  $\alpha_\beta$ -минимумов с учетом туннельного расщепления и магнитного поля

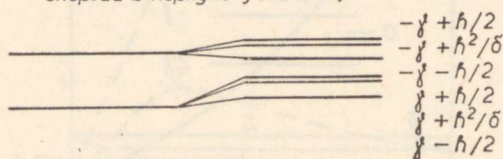
	$x_2$	$y_2$	$z_2$	$z_3$	$x_3$	$y_3$
$x_2$	0	0	$\gamma\sqrt{2}$	$\gamma\sqrt{2}$	0	0
$y_2$	0	0	$i\gamma/\sqrt{2}$	$-i\gamma/\sqrt{2}$	0	0
$z_2$	$\gamma/\sqrt{2}$	$-i\gamma\sqrt{2}$	$h$	0	0	0
$z_3$	$\gamma/\sqrt{2}$	$i\gamma/\sqrt{2}$	0	$-h$	0	0
$x_3$	0	0	0	0	$h^2/\delta$	$\gamma$
$y_3$	0	0	0	0	$\gamma$	$h^2/\delta$

2. Для  $\alpha_\beta$ -минимумов, выбрав соответствующий базис электронных состояний и учитывая уравнения (2), получаем матрицу гамильтониана, представленную в табл. 3. Секулярное уравнение дает следующие значения энергии:

$$E_{1,2,3,4} = \pm \sqrt{\frac{h^2 + 2\gamma^2}{2}} \pm \sqrt{\frac{h^4}{4} + h^2\gamma^2},$$

$$E_{5,6} = h^2/\delta \pm \gamma. \quad (10)$$

а (справа указаны значения энергий в порядке убывания)



б

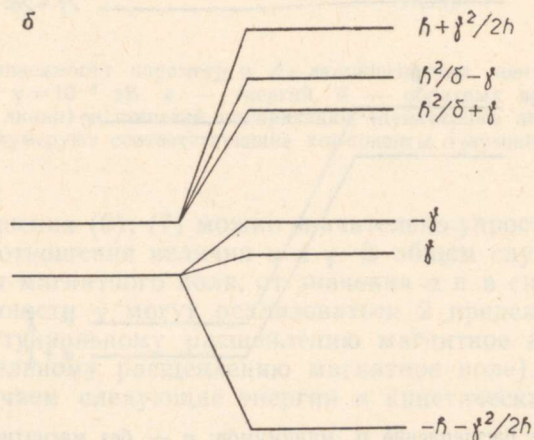


Рис. 4. Расщепление  $\alpha_\beta$ -минимумов в магнитном поле с учетом туннельных переходов: а — при  $h \ll \gamma$ , б — при  $h \gg \gamma$ , ( $h^2/\delta = h(h/\delta) < h$ ,  $\gamma < 0$ ).

Аналогично  $\alpha_\alpha$ -минимумам рассмотрим 2 предельных случая  $h \ll \gamma$  и  $h \gg \gamma$ . Используя (10), в случае  $h \ll \gamma$  получаем следующие значения энергий:

$$E_{1,2,3,4}^w = \pm \gamma \pm h/2,$$

$$E_{5,6}^w = \pm \gamma + h^2/\delta,$$

а в случае  $h \gg \gamma$

$$E_{1,2}^s = \pm (h + \gamma^2/2h),$$

$$E_{3,4}^s = \pm \gamma,$$

$$E_{5,6}^s = h^2/\delta \pm \gamma.$$

Расщепление  $\alpha_\beta$ -минимумов в предельных случаях приведено на рис. 4. Влияние магнитного поля на кинетику люминесценции рассматриваемых центров в экспериментах исследуется при температурах около 1 К. В таких условиях излучают только метастабильные  $\alpha_\alpha$ -минимумы. В связи с этим определение характеристик излучения  $\alpha_\beta$ -минимумов пока интереса не представляет, и мы ограничимся для них рассмотрением энергетического спектра.

### Заключение

Исследование влияния магнитного поля на  $A_T$ -излучение из нижайших туннельных состояний РЦ в ЩГК показало, что магнитное поле снимает вырождение с этих состояний полностью.

Туннельные переходы могут существенно влиять на кинетику затухания люминесценции. Предсказанная в [1] медленно затухающая компонента, обусловленная туннельными переходами, неоднократно наблюдалась в экспериментах (напр., [4]). Однако поиски туннельных состояний рассмотренных центров в экспериментах носят предварительный характер. Для доказательства туннельной природы наблюдавшегося факта целесообразно провести экспериментальные исследования влияния магнитного поля на указанную компоненту. Сложность проведения подобных экспериментов обусловлена, по всей видимости, малостью величины туннельного расщепления. В этом случае уже небольшие неоднородности поля в кристалле уничтожают туннелирование.

### ЛИТЕРАТУРА

1. Хижняков В. В. Препринт, FI-36, Тарту, 1975.
2. Hижняков, V., Kalder, K., Mihkelsoo, V., Niedrais, H. Phys. status solidi (b), **101**, 431 (1980).
3. Брагина Л. Расщепление туннельных состояний примесного иона в магнитном поле. Мат. студ. науч. конф., Тарту, 1977.
4. Bragina, L., Hижняков, V., Lüüda, G., Nagirnyi, V., Soovik, T., Zazubovich, S., Janson, N. Phys. status solidi (b), **120**, 463 (1983).



**ELAVHÖBEDASARNASTE LISANDITSENTRITE TUNNELSEISUNDID  
MAGNETVÄLJAS**

On uuritud magnetvälja mõju elavhõbedasarnaste lisandioonide tunnelseisunditele tugeva Jahn-Telleri efektiga leelishalogeniidkristallides. On vaadeldud nimetatud tsentrite  $A_T$ -luminesentsi kineetilisi ja polarisatsioonilisi karakteristikuid. Et illustreerida saadud tulemusi, on arvutused KI: In tsentrite jaoks tehtud elektronarvutil.

**TUNNEL STATES OF THE MERCURY-LIKE IMPURITY CENTRES  
IN A MAGNETIC FIELD**

The effect of a magnetic field on the tunnel states of the mercury-like impurity centres in alkali halide crystals with strong Jahn-Teller effect was investigated. Decay kinetics and polarization of  $A_T$ -luminescence are considered for these centres. To illustrate the results, a calculation was carried out on the electronic computer for KI: In centres.

Исследована влияние магнитного поля на  $A_T$ -люминесценцию из кристаллов туннельных состояний  $PII$  в  $IIIK$  полупроводников, имеющих сильный эффект Яна-Теллера. Рассмотрены кинетика и поляризация  $A_T$ -люминесценции. Для иллюстрации полученных результатов проведено вычисление на электронном компьютере для центров  $KI:In$  в кристаллах  $KI$ .



1. Laguarda B. B. *Phys. Rev.* 1977, 157, 101.  
 2. Laguarda B. B., Laguarda K., Laguarda K. *Phys. Rev.* 1980, 151, 1080.  
 3. Laguarda B. B., Laguarda K., Laguarda K. *Phys. Rev.* 1981, 152, 1080.  
 4. Laguarda B. B., Laguarda K., Laguarda K., Laguarda K. *Phys. Rev.* 1982, 153, 1080.